

研究简报

关于“重离子转移反应半经典近似研究”¹⁾一文中几个可能的问题

缪容之 徐树威

(中国科学院近代物理研究所)

摘要

本文证明 $G(S, \theta, \pi, 0) = (-1)^{\lambda_1 - \lambda_2} G(S, \theta, 0, 0)$, 从而得到跃迁振幅公式((33), H-B)²⁾在非向前角散射时依然成立。对文献[1]中等式

$$\varepsilon_1 - \Delta\varepsilon_1 - \frac{\hbar^2 k_1^2}{2m_z} = \varepsilon_2 - \Delta\varepsilon_2 - \frac{\hbar^2 k_2^2}{2m_z}$$

存在疑问, 认为转移振幅公式((48), H-B)可能只适合于后表象。不同的表象选择可能对结果产生影响。考虑了转移振幅的两个对称性质, 可以节省数值计算时间。

重离子转移反应半经典理论的优点是图象清晰计算简便, 但早期工作不能提取谱因子。Hasan 和 Brink 的工作^[1]在谱因子方面的进展, 引起了我们很大兴趣。但在文献[1]中可能有几个问题, 现讨论如下²⁾。

1. 跃迁振幅公式的向前角散射条件可以放宽

在向前角散射时, 文献[1]给出跃迁振幅公式是

$$T_{fi} = \frac{(4\pi)^{3/2}}{\sqrt{k_i k_f}} \frac{\hbar^2}{4\mu_f} \exp\left[i(\lambda_1 - \lambda_2)\frac{\pi}{2}\right] \sum_l \sqrt{2l+1} \exp[i\delta^i(l) + \delta^f(l)] A_l(\lambda_2, \lambda_1) Y_{l, \lambda_1 - \lambda_2}(\alpha, \beta) \quad ((33), \text{H-B})$$

其中

$$A_l(\lambda_2, \lambda_1) = \frac{1}{\hbar} \int_{-\infty}^{\infty} dt e^{-i\Delta\phi_0(t)} G(S(t), \theta(t), 0) \quad ((34), \text{H-B})$$

$$G(S, \theta, \phi) = G(S, \theta, \phi, \beta) = \frac{1}{\pi^2} \sum_{L=0}^{\infty} \sum_{M=-\infty}^{\infty} g(S, L, M, \beta) \cos(L\theta + \frac{M\pi}{2}) e^{iM\phi} \quad (1)$$

1) 表示文献[1]中原等式编号, 下同。本文 1982 年 2 月 15 日收到。

2) 本文公式中符号、意义与[1]相同。

$$= \frac{1}{2\pi'} \sum_{L=-\infty}^{\infty} \sum_{M=-\infty}^{\infty} g(S, L, M, \beta) e^{i[L\theta + M(\phi + \frac{\pi}{2})]} \quad (2)$$

而对于大角散射, 另有

$$\begin{aligned} T_{fi} = & \frac{(4\pi)^{3/2}}{\sqrt{k_i k_f}} \frac{\hbar^2}{4\mu_i} \frac{e^{i(\lambda_1 - \lambda_2)\beta}}{2\pi\sqrt{\sin\alpha}} \sum_l \sqrt{2l+1} e^{i[\delta i(l) + \delta f(l)]} \\ & \times \left[A_l^+(\lambda_2, \lambda_1) e^{i[(l+\frac{1}{2})\alpha - \frac{\pi}{4}]} + A_l^-(\lambda_2, \lambda_1) e^{-i[(l+\frac{1}{2})\alpha - \frac{\pi}{4}]} \right] \quad ((A.4), H-B) \end{aligned}$$

这里

$$A_l^+(\lambda_2, \lambda_1) = \frac{1}{\hbar} \int_{-\infty}^{\infty} dt \exp(-i\Delta\phi_0(t)) G(S(t), \theta(t), 0, 0) \quad ((A.5), H-B)$$

$$A_l^-(\lambda_2, \lambda_1) = \frac{1}{\hbar} \int_{-\infty}^{\infty} dt \exp(-i\Delta\phi_0(t)) G(S(t), \theta(t), \pi, 0) \quad ((A.6), H-B)$$

由(1), 考虑到量 $\cos(L\theta + \frac{M\pi}{2}) e^{iM\phi}$ 在变换 $(\theta, \phi) \rightarrow (-\theta, \phi + \pi)$ 中保持不变, 因

而有

$$G(S, \theta, \phi, \beta) = G(S, -\theta, \phi + \pi, \beta)$$

$$\therefore G(S, -\theta, 0, 0) = G(S, \theta, \pi, 0) \quad (3)$$

设 ϕ 是个小量, 则 $g(S, L, M, \beta) \approx g(S, L, M, \beta - \phi)$, 因此在 $\phi \rightarrow 0$ 的区域中, 由对 $G(S, \theta, \phi, \beta)$ 绕 z 轴的转动不变性讨论^[1], 仍有

$$g(S, L, M, \beta) \approx g(S, L, \lambda_1 - \lambda_2, \beta) \delta(M, \lambda_1 - \lambda_2)$$

即在非向前角散射时仍有

$$G(S, \theta, 0, \beta) \approx \frac{1}{2\pi^2} \sum_{L=-\infty}^{\infty} g(S, L, \lambda_1 - \lambda_2, \beta) e^{i[L\theta + (\lambda_1 - \lambda_2)\frac{\pi}{2}]} \quad (4a)$$

这个等式的近似程度与文献[1]关于 $G(S, \theta, 0)$ 的近似程度大体一致.

$$\therefore G(S, -\theta, 0, 0) = \frac{1}{2\pi^2} \sum_{L=-\infty}^{\infty} g(S, L, \lambda_1 - \lambda_2, 0) e^{i[-L\theta + (\lambda_1 - \lambda_2)\frac{\pi}{2}]} \quad (4b)$$

令 $L' = -L$, 并注意 $g(S, L, M, \beta) = (-1)^M g(S, -L, M, \beta)$

$$\begin{aligned} \therefore G(S, -\theta, 0, 0) &= \frac{1}{2\pi^2} \sum_{L'=-\infty}^{\infty} g(S, -L', \lambda_1 - \lambda_2, 0) e^{i[L'\theta + (\lambda_1 - \lambda_2)\frac{\pi}{2}]} \\ &= (-1)^{\lambda_1 - \lambda_2} G(S, \theta, 0, 0) \end{aligned} \quad (4b)$$

$$\text{即 } G(S, \theta, \pi, 0) = (-1)^{\lambda_1 - \lambda_2} G(S, \theta, 0, 0) \quad (5)$$

由(5)及 ((A.5), H-B), ((A.6), H-B) 得

$$A_l^-(\lambda_2, \lambda_1) = A_l^+(\lambda_2, \lambda_1) (-1)^{\lambda_1 - \lambda_2} = A_l(\lambda_2, \lambda_1) (-1)^{\lambda_1 - \lambda_2} \quad (6)$$

由

$$Y_{lm}(\alpha, \beta) \approx \frac{e^{i\frac{m\pi}{2}} e^{im\beta}}{2\pi\sqrt{\sin\alpha}} \left[e^{i[(l+\frac{1}{2})\alpha - \frac{\pi}{4}]} + (-1)^m e^{-i[(l+\frac{1}{2})\alpha - \frac{\pi}{4}]} \right],$$

并 ((A.4), H-B), (6) 得到

$$T_{fi} = \frac{(4\pi)^{3/2}}{\sqrt{k_i k_f}} \frac{\hbar^2}{4\mu_i} \frac{e^{i(\lambda_1 - \lambda_2)\beta}}{2\pi\sqrt{\sin\alpha}} \sum_l \sqrt{2l+1} e^{i[\delta i(l) + \delta f(l)]}$$

$$\begin{aligned} & \times A_l(\lambda_2, \lambda_1) \left[e^{i[(l+\frac{1}{2})\alpha - \frac{\pi}{4}]} + (-1)^{\lambda_1 - \lambda_2} e^{-i[(l+\frac{1}{2})\alpha - \frac{\pi}{4}]} \right] \\ & = \frac{(4\pi)^{3/2}}{\sqrt{k_i k_f}} \frac{\hbar^2}{4\mu_f} e^{i(\lambda_1 - \lambda_2)\frac{\pi}{2}} \sum_l \sqrt{2l+1} e^{i[\delta l(l) + \delta f(l)]} \\ & \quad \times A_l(\lambda_2, \lambda_1) Y_{l, \lambda_1 - \lambda_2}(\alpha, \beta) \end{aligned}$$

回到了((33), H-B). (4a) 和 (4b) 并不要求向前角散射条件, 故(6)也是普适的.

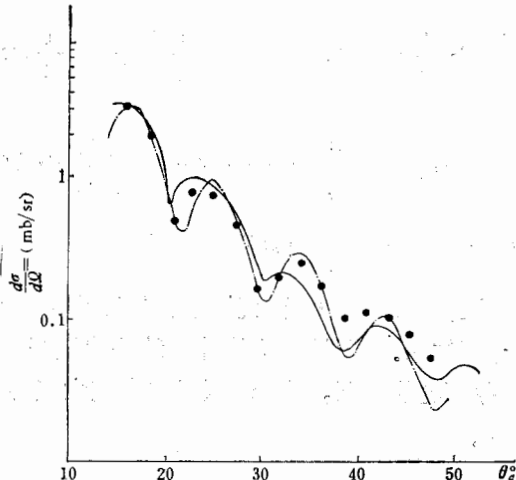


图 1
 ${}^{10}\text{B}({}^{14}\text{N}, {}^{13}\text{C}){}^{11}\text{C}$ 的角分布
——本计算; - - - DWBA^[2]; ● 实验值^[2]

作为实例, 我们计算了反应 ${}^{10}\text{B}({}^{14}\text{N}, {}^{13}\text{C}){}^{11}\text{C}$ ($E_L = 93.6\text{MeV}$), 选择的参量与文献[2]相同. 计算结果如图 1 所示. 就曲线与实验拟合程度言, 本计算可能不如 DWBA 分析^[2], 但它的计算时间仅是 DWBA 的 $1/10 \sim 1/15$. 值得注意的是, 在大角度部分, 本计算的拟合程度并不比 DWBA 有明显的不好. 提取的谱因子见表 1, 由于计算误差大约在 10% 左右, 这样的结果还是可以满意的.

表 1

反 应	$S_1 S_2$			
	本计算	DWBA ^[2]	理论 ^[3]	其它 ^[4]
${}^{10}\text{B}({}^{14}\text{N}, {}^{13}\text{C}){}^{11}\text{C}$	0.5	1.1	0.75	0.68

2. 表象选择可能给结果带来影响

文献[1]指出, 转移振幅 $A'_l(\lambda'_2, \lambda'_1)$ 表式

$$\begin{aligned} A'_l(\lambda'_2, \lambda'_1) &= \frac{(2\pi)^2}{\hbar v} i^{(\lambda_1 - \lambda_2)} \int u_2^*(k_2) u_1(k_1) Y_{l_2 \lambda'_2}^*(\theta'_2, 0) Y_{l_1 \lambda'_1}(\theta'_1, 0) \\ & \quad \times \left(\epsilon_1 - \Delta \epsilon_1 - \frac{\hbar^2 k_1^2}{2m_x} \right) J_{\lambda'_1 - \lambda'_2}(k_1 d) k_1 dk_1 \end{aligned} \quad ((48), \text{H-B})$$

对前、后表象一样适用, 即表象选择对结果没有影响, 我们不能重复这一结果.

按照文献[1], 有效 Q 值 Q_{eff} , 以及剩余相互作用 ΔV 在前后表象(动量空间中)的表达式为

$$Q_{\text{eff}} = \varepsilon_2 - \varepsilon_1 - (\Delta\varepsilon_2 - \Delta\varepsilon_1) \quad (7)$$

$$\Delta V = \varepsilon_i - \Delta\varepsilon_i - \frac{\hbar^2 k_i^2}{2m_x} \quad i = 1, 2 \quad (8)$$

$$\mathbf{k}_2 = \mathbf{k}_1 + \frac{m_x \mathbf{v}}{\hbar} \quad ((47\text{a}), \text{H-B})$$

$$k_{1z} = -\frac{1}{\hbar v} \left(Q_{\text{eff}} + \frac{1}{2} m_x v^2 \right), \quad k_{2z} = -\frac{1}{\hbar v} \left(Q_{\text{eff}} - \frac{1}{2} m_x v^2 \right) \quad ((47\text{b}), \text{H-B})$$

因此, 我们得到

$$\begin{aligned} \Delta V_1 &= \varepsilon_2 - \Delta\varepsilon_2 - \frac{\hbar^2 k_2^2}{2m_x} = \varepsilon_1 - \Delta\varepsilon_1 - \frac{\hbar^2 k_1^2}{2m_x} + 2Q_{\text{eff}} \\ &\approx \varepsilon_1 - \Delta\varepsilon_1 - \frac{\hbar^2 k_1^2}{2m_x} = \Delta V_2 \end{aligned} \quad (9)$$

即 ((48), H-B) 只适合于后表象. 图 2 表示了反应 $^{26}\text{Mg}(^{11}\text{B}, ^{10}\text{Be}) ^{27}\text{Al}$ ($E_L = 114\text{MeV}$) 的两个反应道不同表象计算结果. 两种表象的计算结果曲线在形状上很接近, 都与实验^[3]有良好拟合, 但微分截面的值不同, 因而谱因子也有较大差异, 差异程度取决于反应 Q 值和库仑修正 $\Delta\varepsilon_1$ 、 $\Delta\varepsilon_2$.

3. 转移振幅的对称性质

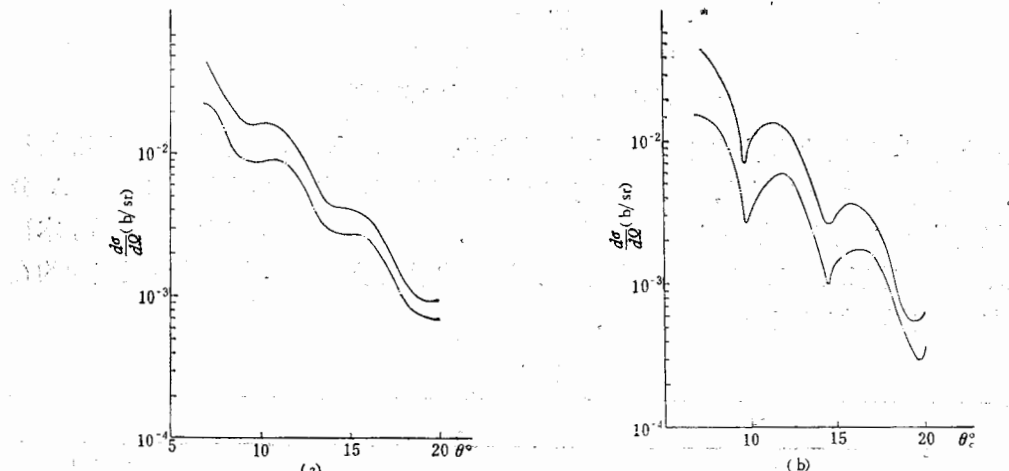


图 2(a) $^{26}\text{Mg}(^{11}\text{B}, ^{10}\text{Be}) ^{27}\text{Al}$ ($E_L = 114\text{MeV}$) 中质子由 ^{11}B 向 ^{27}Al 中 $1 d_{5/2}(\text{GS})$ 转移的角分布计算值

—·—·— ΔV 取前表象近似, 谱因子 = 0.19
—— ΔV 取后表象近似, 谱因子 = 0.12

图 2(b) $^{26}\text{Mg}(^{11}\text{B}, ^{10}\text{Be}) ^{27}\text{Al}$ ($E_L = 114\text{MeV}$) 中质子由 ^{11}B 向 ^{27}Al $2 S_{1/2}(0+84)$ 转移的角分布计算值

—·—·— ΔV 前表象近似, 谱因子 = 0.17
—— ΔV 取后表象近似, 谱因子 = 0.073

由贝塞尔函数 J_m 及转动矩阵元 $D_{m'm}^l$ 的对称性质, 我们容易得到关于转移振幅的对称性质:

$$\begin{aligned} A'_l(-\lambda'_2, -\lambda'_1) &= (-1)^{\lambda'_2 + \lambda'_1} A'_l(\lambda'_2, \lambda'_1) \\ A_l(-\lambda_2, -\lambda_1) &= (-1)^{\lambda_2 + \lambda_1} A_l(\lambda_2, \lambda_1) \end{aligned} \quad (10)$$

这两个对称性质用于计算 $A'_i(\lambda'_2, \lambda'_1)$ 及 $A_i(\lambda_2, \lambda_1)$, 可以节省时间近一半.

参 考 文 献

- [1] H. Hasan and D. M. Brink, *J. Phys. G: Nucl. Phys.*, 4 (1978), 1573.
- [2] T. Motobayashi et al., *Nucl. Phys.*, A331 (1979), 193—212.
- [3] S. Cohen and D. Kurath, *Nucl. Phys.*, A193 (1967), 164.
- [4] K. G. Nair et al., *Phys. Rev.*, C12 (1975), 1575.
- [5] I. Paschopoulos et al., *Nucl. Phys.*, A252 (1975), 173.

SEVERAL PROBABLE QUESTIONS ON “A STUDY OF A SEMICLASSICAL APPROXIMATIONS FOR HEAVY ION TRANSFER REACTIONS”^[1]

MIAO RONG-ZHI XU SHU-WEI

(Institute of Modern Physics, Academia Sinica)

ABSTRACT

The identity $G(S, \theta, \pi, 0) = (-1)^{\lambda_1 - \lambda_2} G(S, \theta, 0, 0)$ is proved thus the transition amplitude's formula ((33), H-B, see[1]) stands good under the nonforward angular scattering conditions.

The equation $\left(\varepsilon_1 - \Delta\varepsilon_1 - \frac{\hbar^2 k_1^2}{2m_x} \right) = \left(\varepsilon_2 - \Delta\varepsilon_2 - \frac{\hbar^2 k_2^2}{2m_x} \right)$ in Ref [1] may be questionable. The transfer amplitude's formula ((48), H-B) may be suitable only in post representation. The choice of different representations probably influences the calculation results.

The two symmetry properties of the transfer amplitude can simplify the numerical calculations.

直译

译文